



سنجش از دور

و GIS ایران



سنجش از دور و GIS ایران
Vol.7, No. 1, Spring 2015

۹۵-۱۱۵

تهیه نقشه نهشته‌های مناطق بیابانی با استفاده از داده‌های چندطیفی ASTER

امیرحسین هاتقی اردکانی^۱، مصطفی کریمی احمدآباد^{۲*}، سعید خدایان^۳، سعید قره‌چلو^۴

۱. کارشناس ارشد بیابان‌زادی، دانشکده کویرشناسی، دانشگاه سمنان
۲. استادیار دانشکده جغرافیا، دانشگاه تهران
۳. دانشیار گروه جغرافیا، دانشگاه شهید بهشتی
۴. استادیار دانشکده کویرشناسی، دانشگاه سمنان

تاریخ پذیرش مقاله: ۱۳۹۴/۵/۲۷

تاریخ دریافت مقاله: ۱۳۹۳/۷/۲۲

چکیده

تولید و بدست آوردن آمار و اطلاعات دقیق و واقعی از منابع معدنی دغدغه همیشگی مدیران است. برای تولید این نوع آمار و اطلاعات روش‌های گوناگونی وجود دارد که از جمله می‌توان به روش‌های سنتی همراه با پیمایش‌های زمینی و روش‌های پیشرفته سنجش از دور اشاره کرد. سنجش و تولید اطلاعات با استفاده از داده‌های ماهواره‌ای و روش‌های دورکاوی، بهویژه در مناطق کویری و بیابانی بهدلیل شرایط نامساعد آنها، افق جدیدی را به روی مدیران گشوده که راهکاری است برای غلبه بر مشکلات روش‌های مرسوم سنتی. هدف پژوهش حاضر ارزیابی تکنیک‌های سنجش از دور و GIS در تهیه نقشه املاح تبخیری در منطقه شرقی دشت سمنان با استفاده از تصاویر ماهواره‌ای ASTER است. برای این منظور ابتدا نمونه‌برداری به روش تصادفی منظم از منطقه انجام شد و سپس پردازش‌هایی از قبیل بسط تصویر، ایجاد تصاویر رنگی کاذب، تجزیه مؤلفه‌های اصلی، تبدیل تسلیک، ادغام و نسبت گیری طیفی روی تصاویر صورت گرفت. مقادیر گچ، نمک و سولفات سدیم و منیزیم خاک با ارزش طیفی استخراج شده از باندهای اصلی و فرعی تلاقی داده شدند و روابط همبستگی و رگرسیونی بین داده‌های ماهواره‌ای و زمینی مورد بررسی قرار گرفتند. نتایج تحقیق نشان دادند که باندهای حرارتی PCA9، PCA10، PCA12 می‌توانند در تفکیک املاح گچ، هالیت و سولفات مفید باشند. در نهایت، از طریق طبقه‌بندی حداقل احتمال روی باندهای مذکور، نقشه‌های گچ، هالیت و سولفات محدوده مطالعاتی با صحت کل به ترتیب ۶۶/۶۷، ۷۳/۳۳، ۶۶/۶۷ درصد و با ضریب کاپای به ترتیب ۰/۵۳، ۰/۵۵ و ۰/۶۱ تهیه شدند.

کلیدواژه‌ها: املاح تبخیری، گچ، نمک، سولفات، سنجش از دور.

* نویسنده مکاتبه‌کننده: تهران، خیابان وصال شیرازی، نبش کوچه آذین، پلاک ۱، دانشکده جغرافیا، دانشگاه تهران. تلفن: ۰۹۳۵۴۸۳۹۱۲

Email: Mostafakarimi.a@ut.ac.ir

۱- مقدمه

باعث مختل شدن روند تحقیقات پژوهش‌های منابع زمینی می‌شود. تکنیک‌های سنجش از دور ابزارهای نوینی هستند که امروزه دستیابی و استخراج اطلاعات را برای مدیریت منابع زمینی و توسعه پایدار میسر می‌سازند. تکنیک‌های سنجش از دور نقش مهمی در نقشه‌برداری (Farina et al., 2005) و توانایی زیادی در ارائه دقیق کانی‌شناسی، شیمی و مورفولوژی سطحی زمین دارند (Zhang & Pazner, 2007). زمین‌شناسان، داده‌های سنجش از دور را از همان ابتدای ظهور برای نقشه‌برداری منطقه‌ای، تفسیر ساختاری و اکتشاف سنگ‌های معدنی به کار گرفتند (Van der Meer et al., 2012). دسترسی نسبتاً آسان داده‌های ماهواره‌ای چندطیفی و فراتیفی، فرصت‌های جدیدی را برای نقشه‌برداری منطقه‌ای کانی‌شناسی، زمین‌شناسی ساختاری و انواع سنگ‌ها ایجاد کرده است (Kodikara et al., 2011; Greg Vaughan et al., 2005; Van der Meer et al., 2012; Hewson et al., 2005).

تجزیه و تحلیل داده‌های ASTER به علت برخورداری از قدرت تفکیک مکانی و طیفی، در شناسایی و اکتشاف مواد معدنی مفیدتر است (Bedini, 2011). داده‌های سنجنده ASTER، ابزارهای قدرتمندی در نقشه‌برداری زمین‌شناسی به شمار می‌آیند که مجموعه جدیدی از اطلاعات بازتاب از سنگ‌ها را فراهم می‌کنند و می‌توانند برای تفکیک سازنده‌ها و تشکیلات زمین‌شناسی مورد استفاده زمین‌شناسان قرار گیرند (Gomez et al., 2005). داده‌های ASTER اطلاعات تکمیلی را برای نقشه‌برداری سنگ‌شناسی فراهم کرده‌اند (Rowan & Mars, 2003). نتایج تحقیقات متین‌فر و همکاران (۱۳۸۵) نشان می‌دهند که خاک‌های با پوسته‌های نمکی و پوشیده از نمک، گچ و ماسه را می‌توان با باندهای محدوده مرئی و مادون‌قرمز نزدیک تفکیک کرد. قدسی و شهرکی (۱۳۹۰)، ۲۱ زون املال تبخیری را در گستره استان سیستان و بلوچستان برپایه پردازش تصاویر ماهواره‌ای شناسایی کردند. نتایج تحقیقات

با ارتقای روزافزون دانش بشری، اهمیت توسعه پایدار و تکیه‌نداشتمن به منابع فناپذیر بیش از پیش آشکار شده است. یکی از مسیرهای رسیدن به این هدف، استفاده بهینه از منابع زمینی است. یکی از مهم‌ترین منابع زمینی کشور ایران، سازنده‌ها و نهشته‌های تبخیری - بهخصوص در مناطق مرکزی - است که هم از جنبه اقتصادی و هم به دلیل تأثیرگذاری جدی آن بر معضل بیابان‌زایی دارای اهمیت فراوان است. شناسایی و تشخیص نوع این نهشته‌ها در گام نخست می‌تواند در مدیریت بهره‌برداری از آنها مؤثر باشد. درخصوص اهمیت این نهشته‌ها از نظر ارتباط‌شان با پدیده بیابان‌زایی می‌توان به این مطلب اشاره کرد که محمدی و کاظمی (۱۳۹۱) یکی از مهم‌ترین عوامل مؤثر بر ایجاد بیابان‌های دشت شوقان در استان خراسان شمالی را وجود سازنده‌های مارنی و تبخیری در ارتفاعات جنوبی و جنوب غربی این ناحیه می‌دانند. فیض‌نیا (۱۳۷۸) مهم‌ترین عوامل مؤثر بر شوری و تخریب آب رودخانه‌های حوضه مرکزی ایران را وجود مارن‌های تبخیری، گنبدهای نمکی و معادن گچ و نمک در این نواحی می‌داند.

املاح نهشته‌های تبخیری مصارف گوناگونی دارند که با شناسایی آنها می‌توان به ثروت در خور توجهی دست یافت. صرف‌نظر از مصارف املال گچ و نمک، سولفات‌ها به‌ویژه سولفات سدیم کاربرد فراوانی در تولید مواد شوینده دارند. بنابراین با وجود وسعت بیابان‌های حاصل از سازنده‌های شور و تبخیری در ایران که خسروشاهی و همکاران (۱۳۹۰) آن را ۲۰۸۰۴۱ کیلومترمربع تخمین زده‌اند و سهم استان سمنان از این مقدار ۴۳۴۲۹ کیلومترمربع است، شناسایی و تهیه نهشته‌ای از چگونگی وجود آنها در مناطق بیابانی می‌تواند زمینه را برای بهره‌برداری از آنها و تحقق توسعه پایدار میسر سازد. اکتشاف منابع زمینی از طریق پیمایش‌های صحرایی همراه با آنالیزهای آزمایشگاهی، ضمن وقت‌گیربودن، هزینه‌های زیادی دارد که اغلب

تخریبی، مارن‌های ماسه‌ای و مارن‌های گچ‌دار، سازند قرمز بالایی با تنایوی از مارن‌های گچ‌دار و ماسه سنگ‌آهکی و رسوبات کواترنری. شکل ۱ پهنه مورد مطالعه را که منطقه‌ای معدنی واقع در ۳۵ کیلومتری جنوب‌شرق سمنان با نوع سازندهای مذکور است، نشان می‌دهد.

۲-۲- داده‌های مورد استفاده

در پژوهش حاضر از این داده‌ها استفاده شده است: تصاویر سنجنده ASTER متعلق به ماهواره TERRA ثبت‌شده در تاریخ ۲۴ اکتبر ۲۰۰۳؛ نقشه‌های توپوگرافی رقومی ۱:۲۵۰۰۰ سازمان نقشه‌برداری کشور با سیستم مختصات UTM شامل شیت‌های ۶۷۶۱- ۳NE، ۶۷۶۱-۳NW، ۶۷۶۱-۳SE، ۶۷۶۱-۳SW انجام تصحیحات هندسی داده‌های ماهواره‌ای؛ نقشه زمین‌شناسی ۱:۲۵۰۰۰ سازمان زمین‌شناسی کشور شیت سمنان؛ و دستگاه GPS گارمین مدل Etrex30 با دقیق مسطحاتی ۳ تا ۵ متر برای تعیین مختصات نقاط نمونه‌برداری. داده‌های ماهواره‌ای ASTER در سطوح گوناگون کالیبره می‌شوند، که نوع B1 استفاده شده در پژوهش حاضر دارای تصحیحات اتمسفری است. تصاویر ASTER، محدوده طیفی مرئی، مادون‌قرمز نزدیک، مادون‌قرمز کوتاه و مادون‌قرمز حرارتی را در ۱۴ کانال طیفی با قدرت تفکیک طیفی، مکانی و رادیومتری بالا پوشش می‌دهند (Zhang et al., 2007; Abrams & Hook, 2001; Yamaguchi et al., 1998) در این مطالعه، به‌منظور انجام کارهای پردازش تصویر و GIS، از نرم‌افزارهای ERDAS AMAGINE9.2 و ENVI7.4 و ARCGIS9.3 و برای آنالیز و مقایسه‌های آماری از نرم‌افزارهای SPSS16 و Excel2010 استفاده شد.

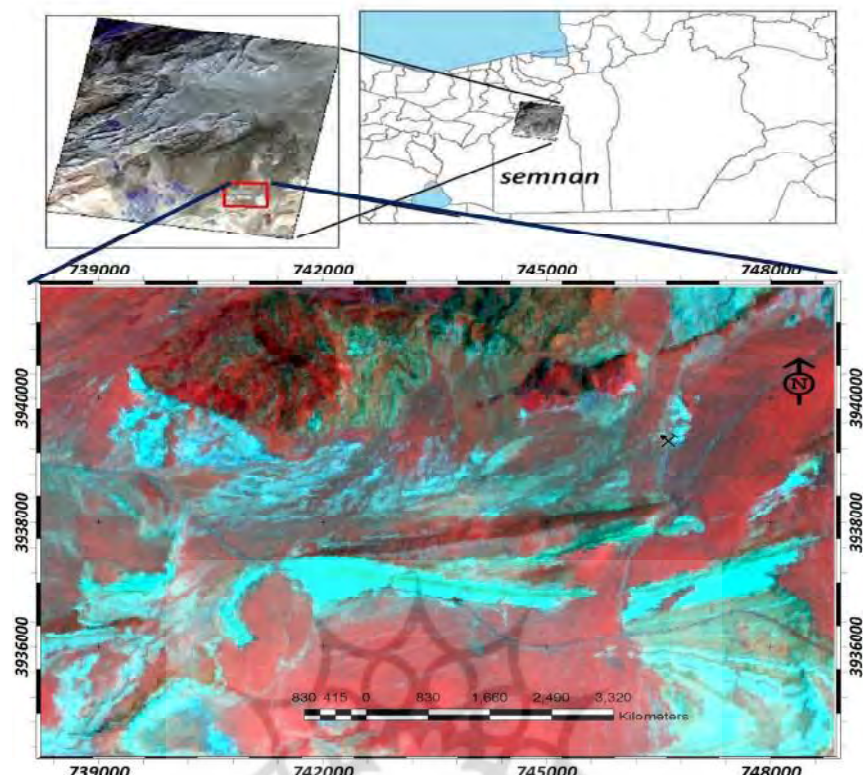
-
1. Crosta & Moore
 2. Goossens & Van Ranst
 3. Kavak
 4. Brovey Transformation

خدادادی و همکاران (۱۳۸۷) نشان دادند که باند حرارتی^۱ ETM و تکنیک تبدیل تسلاکپ، دقت طبقه‌بندی خاک‌های شور و سدیمی را در دشت قزوین افزایش داده است. نایج نوری (۱۳۸۰)، امکان تفکیک زمین‌های شور و گچی منطقه دشت کاشان را با استفاده از داده‌های ماهواره‌ای TM بررسی کرد. نتایج تحقیق وی نشان دادند که باندهای TM1، TM5، TM6 با مقادیر EC سطحی و باندهای TM7، TM3، TM6 با تغییرات گچ سطحی ارتباط دارند. کروستا و مور^۲ (۱۹۸۹) بیان کردند که باندهای ۷، ۵ و ۴ لندست بهترین ترکیبات برای شناسایی نهشته‌های گچ در جنوب شرقی اسپانیا هستند. گوسننس و ون رانست^۳ (۱۹۹۸) گزارش کردند که تصاویر ماهواره لندست برای جداکردن خاک‌های گچی از خاک‌های شور بسیار مفیدند. کلاواک^۴ (۲۰۰۵) با استفاده از تصاویر ASTER و ETM^۵، به کمک تکنیک‌های تبدیل بروی^۶ و تحلیل مؤلفه‌های اصلی، افق‌های گچی حوضه سیواس واقع در ترکیه را شناسایی کرد. غالب مطالعات مربوط به جداسازی خاک‌های شور و گچی از خاک‌های غیرشور از طریق تصاویر لندست انجام شده و مطالعات چندانی در عرصه شناسایی املاح و سازندهای تبخیری با داده ماهواره‌ای ASTER به‌منظور تفکیک آنها صورت نگرفته است. به همین دلیل، پژوهش حاضر با هدف شناسایی و تهیه نقشه نهشته‌های تبخیری گچ، نمک و سولفات‌ها در بخشی از بیابان‌های جنوب‌شرقی دشت سمنان انجام شد.

۲- مواد و روش‌ها

۲-۱- منطقه مورد مطالعه

منطقه مطالعاتی، محدوده‌ای است به‌وسيع ۸۰۰۰ هکتار واقع در حاشیه شمال‌شرقی کویر بزرگ که از نظر چینه‌شناسی شامل اینهاست: سازند کرج با سنگ‌های آندزیتی و توف، سازند فجن با آهک کنگلومرايی، سازند مارن دوزهير، سازند قم با رخساره‌هایی شامل آهک



شکل ۱. نقشهٔ موقعیت منطقهٔ مورد مطالعه

منطقه مشخص گردید، سپس با مراجعه به منطقه کوشش شد در تمام واحدهای زمین‌شناسی منطقه نمونه‌برداری به عمل آید. طی عملیات صحرایی، درصد پوشش سنگ و سنگریزه، نوع کاربری زمین، واحد سنگ‌شناسی، و تیپ و رخساره منطقه یادداشت شدند. سرانجام ۸۲ نمونه خاک انتخاب شدند، که ۵۲ نمونه برای مدل‌سازی و ۳۰ نمونه آن برای اعتبارسنجی مدل‌ها بود. به منظور دستیابی به دقت بیشتر، نمونه‌برداری از خاک با انتخاب ۸ مکان از مرکز هر نقطه به فاصله ۳۰ متر و با زاویه ۴۵ درجه در عمق ۰ تا ۱۰ سانتی‌متر انجام گرفت (ناییج نوری، ۱۳۸۰).

نمونه‌ها به آزمایشگاه شرکت معدنی املح ایران منتقل و پس از خشکشدن در هوای آزاد از غربال دو

1. Optimum Index Factor

۲-۳- آماده‌سازی و پردازش‌های اولیهٔ تصویر

ابتدا تصویر ماهواره‌ای با استفاده از نقاط کنترل زمینی برداشت شده با GPS، به روش نزدیک‌ترین همسایه مورد تصحیحات هندسی قرار گرفت. به منظور تشخیص بهتر عوارض، از بهترین تصاویر رنگی کاذب به روش فاکتور شاخص مطلوب^۱ (OIF) و روش بسط تصاویر در حالت تعديل هیستوگرام استفاده شد.

۲-۴- برداشت اطلاعات میدانی

کوشش شد مراجعه‌های میدانی برای تهیه نمونه‌های صحرایی زمانی انجام شوند که با تاریخ ثبت داده‌های ماهواره‌ای یکسان باشند؛ بدین منظور نمونه‌برداری‌های صحرایی در آبان‌ماه سال ۱۳۸۸ انجام شدند. در پژوهش حاضر از روش نمونه‌برداری تصادفی منظم به منظور انجام عملیات صحرایی استفاده شد. ابتدا موقعیت تعداد زیادی نقاط نمونه‌برداری روی تصویر

نظرات شده و به کمک نقاط نمونه برداری، اقدام به تهیه نقشه‌های املال گردید. پس از تهیه نقشه‌ها، ارزیابی صحت طبقه‌بندی به منظور برآورد صحت و سطح اطمینان نتایج انجام گرفت (فاطمی و رضایی، ۱۳۸۵). سپس به منظور افزایش کیفیت و صحت طبقه‌بندی یا آمده‌سازی نتایج برای نزدیک شدن به شکل نهایی، پس پردازش‌های طبقه‌بندی روی نتایج طبقه‌بندی اعمال شدند (فاطمی و رضایی، ۱۳۸۵). نمای کلی مراحل انجام شده در پژوهش حاضر در شکل ۲ نشان داده شده است.

با استفاده از روابط آماری ۱ و ۲، مقادیر میانگین قدر مطلق خطأ^۱ (MAE)، ریشه میانگین مجذور خطأ^۲ (RMSE)، و ضریب همبستگی (R)، و با ۳۰ نمونه شاهد، میزان صحت مدل‌ها محاسبه شد. ارزیابی صحت نتایج طبقه‌بندی حداقل احتمال با محاسبه ماتریس خطأ صورت می‌گیرد و معمولی‌ترین عوامل برآورد صحت شامل صحت کلی، صحت تولیدکننده، صحت کاربر و ضریب کاپا هستند (Lu et al., 2004).

رابطه (۱)

$$MAE = \frac{1}{n} \sum_{i=1}^n |Z_{xi} - Z_{xi}^*|$$

رابطه (۲)

$$RMSE = \sqrt{\frac{1}{n} \sum_{i=1}^n [Z_{xi} - Z_{xi}^*]^2}$$

که در آنها، Z_{xi} : مقادیر واقعی، Z_{xi}^* : مقادیر تخمینی، MAE: انحراف معیار خطأ، RMSE: میانگین خطأ، و n: تعداد نمونه‌هاست.

1. Mean Absolute Error

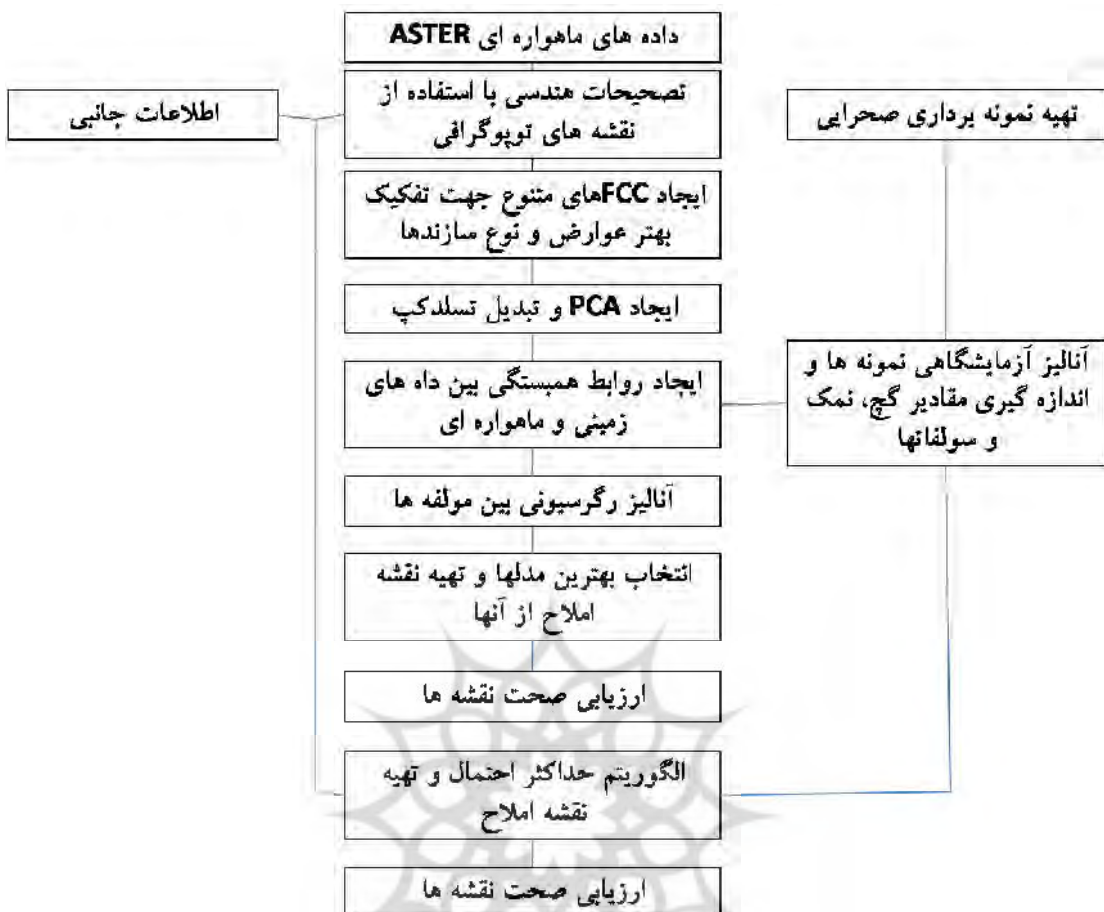
2. Root Mean Square Error

میلی‌متری عبور داده شدند. از نمونه‌های خاک، گل اشباع تهیه و سپس با عصاره‌گیری از آن، غلظت یون کلر به روش موهر، غلظت کلسیم و منیزیم به روش کمپلکسومتری و غلظت سدیم و پتاسیم به روش فلیم فتوسومتری (Richards, 1954) و میزان گچ به روش استون (Nelson & Sommers, 1982) اندازه‌گیری شدند.

۲-۵- پردازش اطلاعات زمینی و ماهواره‌ای
علاوه بر باندهای اصلی تصویر با روش آنالیز مؤلفه‌های اصلی، تبدیل تسلیک و نسبت‌گیری طیفی، باندهای فرعی نیز ایجاد شدند و میانگین اعداد ۹ پیکسل در هر نقطه به عنوان مقدار عددی داده‌های ماهواره‌ای برای هریک از باندهای اصلی و فرعی منتظر با داده‌های زمینی منظور در نظر گرفته شد.

به منظور آنالیز رگرسیونی بین مؤلفه‌ها، ابتدا ماتریس همبستگی بین تمامی مؤلفه‌های زمینی و ماهواره‌ای برقرار شد. با مشخص شدن نحوه همبستگی بین مقادیر هریک از مؤلفه‌ها با مقادیر ارزش طیفی منتظر با آنها در تمامی باندها، از باندهایی که همبستگی شان بالاتر از مؤلفه‌های زمینی بود به منظور اقدام به ایجاد مدل‌های مناسب با استفاده از روش‌های رگرسیونی چندمتغیره استفاده گردید. سپس مدل‌هایی که دارای ضریب همبستگی، ضریب تبیین (R^2) و ضریب تعیین تعدیل شده بالاتری بودند، انتخاب شدند. برای تهیه نقشه املال باید روابط رگرسیونی بین آن دسته از داده‌های زمینی و ماهواره‌ای که همبستگی بالاتری دارند برقرار شود. این کار به روش حذف پسرو به کمک شش باند (band9, band10, band12, pca9, pca10, pca12) انجام شد و برای هریک از املال مدل‌های مختلفی ارائه گردید. معیار انتخاب بهترین مدل برای هریک از املال، مدل دارای همبستگی بالاتر، مقدار F بزرگ‌تر، و معناداربودن ضرایب هریک از مؤلفه‌های تشکیل‌دهنده در آن مدل است.

با استفاده از روش‌های آماری طبقه‌بندی



شکل ۲. روند کلی مراحل تحقیق

رنگی شناخته شد.

جدول ۲ باندهای اصلی و فرعی به کاررفته در این تحقیق را نشان می دهد. پیش از ایجاد روابط آماری، نرمال بودن مؤلفه های زمینی با آزمون کولموگروف- اسمیرنوف (حبیبی، ۱۳۸۶) بررسی شدند، که نتایج آن در جدول ۳ آمده است. تشکیل روابط همبستگی بین داده های زمینی و داده های ماهواره ای طبق جدول ۴ نشان داد که داده های ماهواره ای band9, band10, band12, pca9, pca10, pca12 ضرایب هریک از املاح ارتباط معناداری در سطح متوسط دارند و ضرایب همبستگی برای بقیه باندها خیلی ضعیف است.

۳- نتایج و بحث

تصحیحات هندسی با دقت ۰/۴۵ پیکسل روی تصویر انجام شدند. جدول ۱ میزان ضریب شاخص مطلوبیت را برای تعدادی از FCC های ایجاد شده نشان می دهد، که براساس واریانس و همبستگی بین باندهای مختلف و از نسبت مجموع انحراف معیارهای سه باند ($\sum_{j=1}^3 SD_i$) بر مجموع قدر مطلق ضرایب همبستگی بین دو باند از همان سه باند ($\sum_{j=1}^3 |CC_j|$) به دست می آید (علوی پناه، ۱۳۸۵). به علت دارابودن بیشترین اطلاعات می توان ترکیب سه باندی را که بالاترین OIF را داشته باشد، برای ایجاد FCC انتخاب کرد (علوی پناه، ۱۳۸۵). در میان FCC های ایجاد شده، FCC612 به دلیل بزرگ تر بودن ضریب شاخص، به عنوان بهترین ترکیب

تهیه نقشه نهشته‌های مناطق بیابانی با استفاده از داده‌های چندطیفی ASTER

جدول ۱. ضریب شاخص مطلوبیت برای FCC‌های گوناگون

OIF	$\sum_{j=1}^3 CC_j $	$\sum_{j=1}^3 SD_i$	FCC	شماره	OIF	$\sum_{j=1}^3 CC_j $	$\sum_{j=1}^3 SD_i$	FCC	شماره
۱۹,۳۸	۲,۲۸۳	۴۴,۲۵	۶,۱,۴	۱۰	۱۳,۸۲	۲,۴۹۹	۳۴,۵۶	۷,۵,۳	۱
۱۹,۰۸	۲,۴۷۸	۴۷,۳۰	۶,۲,۳	۱۱	۱۹,۲۲	۲,۳۸۵	۴۵,۸۴	۹,۲,۳	۲
۱۸,۵۴	۲,۴۰۵	۴۴,۶۰	۵,۳,۱	۱۲	۱۸,۷۲	۲,۴۸۶	۴۶,۵۶	۷,۳,۲	۳
۱۷,۶۵	۲,۴۵۸	۴۳,۳۹	۵,۶,۲	۱۳	۲۲,۶۶	۲,۳۵۳	۵۳,۳۳	۷,۱,۲	۴
۱۷,۸۱	۲,۳۶۱	۴۲,۰۷	۵,۱,۶	۱۴	۱۹,۱۶	۲,۴۷۲	۴۷,۳۸	۸,۳,۲	۵
۱۱,۴۶	۲,۸۶۶	۳۲,۸۵	۵,۸,۶	۱۵	۱۸,۳۹	۲,۲۹۲	۴۲,۱۵	۸,۰,۱	۶
۱۴,۴۸	۲,۴۸۶	۳۶,۰۲	۷,۳,۶	۱۶	۱۵,۶۱	۲,۳۰۷	۳۶,۰۲	۹,۴,۳	۷
۱۷,۶۵	۲,۴۵۸	۴۳,۳۹	۲,۸,۵	۱۷	۱۷,۰۲	۲,۴۱	۴۱,۰۲	۹,۵,۲	۸
۲۳,۱۵	۲,۳۶۶	۵۴,۰۷	۲,۱,۶	۱۸	۱۳,۶۵	۲,۴۲	۳۳,۰۴	۹,۰,۳	۹

جدول ۲. باندهای اصلی و فرعی استفاده شده در پژوهش حاضر

ردیف	نحوه تهیه باندها	باندهای اصلی و فرعی
1	باندهای اصلی	Band1, Band2, ..., Band14
2	تجزیه مؤلفه‌های اصلی	PCA1, PCA2, ..., PCA14
3	مؤلفه روشنایی حاصل از تبدیل تسلدکپ	Brightness1
4	مؤلفه نمناکی حاصل از تبدیل تسلدکپ	Wetness1
5	مؤلفه سبزینگی حاصل از تبدیل تسلدکپ	Greenness1

جدول ۳. خصوصیات آماری هریک از مؤلفه‌ها بر حسب میلی‌اکی والان بر ۱۰۰ گرم خاک

	N	Mean	Std. Deviation	Minimum	Maximum	Kolmogorov-Smirnov Z	Sig. Asymp. (2-tailed)
CaSo4	82	32.78	27.77	7.91	158.14	5.50	.000
NaCl	82	32.53	27.93	4.07	143.97	4.24	.004
Na2So4	82	3.22	2.07	.00	26.45	5.84	.002
MgSo4	82	2.26	1.25	.00	17.89	5.97	.000
Ca	82	44.17	32.72	12.00	167.50	4.97	.001
Cl	82	41.23	33.10	5.64	129.76	3.18	.000

جدول ۴. ضرایب همبستگی پیرسون متغیرهای مورد بررسی

Cl	Ca	MgSO ₄	Na ₂ SO ₄	NaCl	CaSO ₄ .2H ₂ O	CaSO ₄ .2H ₂ O
-0.28	-0.63	-0.44	-0.58	-0.11	1	CaSO ₄ .2H ₂ O
-0.91	-0.34	-0.14	-0.11	1	-0.41	NaCl
-0.24	-0.24	-0.83	1	-0.11	-0.58	Na ₂ SO ₄
-0.07	-0.18	1	-0.83	-0.14	-0.44	MgSO ₄
-0.32	1	-0.18	-0.24	-0.34	-0.63	Ca
1	-0.32	-0.07	-0.11	-0.91	-0.28	Cl
-0.21	-0.47	-0.40	-0.53	-0.51	-0.41	Band9
-0.49	-0.48	-0.37	-0.35	-0.45	-0.52	Band10
-0.27	-0.07	-0.18	-0.27	-0.36	-0.47	Band12
-0.51	-0.05	-0.30	-0.22	-0.33	-0.26	Pca9
-0.05	-0.12	-0.40	-0.55	-0.15	-0.37	Pca10
-0.26	-0.09	-0.31	-0.25	-0.22	-0.23	Pca11

جدول ۵. ضرایب تشخیص همبستگی مدل‌های گج

Std. Error of the Estimate	Adjusted R Square	R Square	R	Model
32/92337	-0.13	-0.129	-0.359	1
32/57164	-0.34	-0.128	-0.358	2
32/31525	-0.49	-0.124	-0.351	3
32/31768	-0.49	-0.105	-0.323	4
32/46945	-0.40	-0.077	-0.278	5
32/71466	-0.25	-0.044	-0.210	6

برای سولفات‌سدیم Na₂SO₄ شش مدل ایجاد شد. نتایج حاصل از ایجاد روابط رگرسیونی بین مؤلفه Na₂SO₄ و باندها در جدول‌های ۶ و ۷ و نتایج مربوط به آزمون معناداربودن بهترین مدل در جدول ۸ آمده است. برای سولفات‌منیزیم (MgSO₄) هم شش مدل ایجاد شد و نتایج حاصل از ایجاد روابط رگرسیونی بین مؤلفه MgSO₄ و باندها در جدول‌های ۹ و ۱۰ و نتایج مربوط به آزمون معناداربودن بهترین مدل در جدول ۱۱ آمده است.

نتایج حاصل از بررسی روابط رگرسیونی مربوط به هریک از املاح نشان دادند که برای گج و هالیت به ترتیب ۶ و ۵ مدل تشکیل شد ولی این مدل‌ها در نگاه اول همبستگی کمی داشتند (جدول ۵). نتایج تجزیه واریانس و روابط رگرسیونی بین آنها نشان می‌دهند که هیچ‌یک از این مدل‌ها در سطح حداقل ۵ درصد نیز معنادار نیستند، از این‌رو نمی‌توان برای گج و هالیت مدلی را ایجاد کرد.

تهیه نقشه نهشته‌های مناطق بیابانی با استفاده از داده‌های چندطیغی ASTER

جدول ۶ ضرایب تشخیص همبستگی مدل‌های سولفات سدیم

Std. Error of the Estimate	Adjusted R Square	R Square	R	Model
.۵/۰۴۴۵۵	.۰/۱۳۱	.۰/۲۳۳	.۰/۴۸۳	۱
.۴/۹۹۱۱۳	.۰/۱۵۰	.۰/۲۳۳	.۰/۴۸۳	۲
.۴/۹۴۳۱۵	.۰/۱۶۶	.۰/۲۳۱	.۰/۴۸۱	۳
.۴/۸۹۱۶۸	.۰/۱۸۳	.۰/۲۳۱	.۰/۴۸۱	۴
.۴/۸۸۹۲۶	.۰/۱۸۴	.۰/۲۱۶	.۰/۴۶۵	۵
.۴/۸۹۴۴۶	.۰/۱۸۲	.۰/۱۹۸	.۰/۴۴۵	۶

جدول ۷. تجزیه واریانس مدل‌های سولفات سدیم

Sig.	F	Mean Square	Df	Sum of Squares	Model
.۰۵۲ ^a	2.284	58.119	6	348.717	Regression
		25.447	45	1145.135	Residual
			51	1493.852	Total
.۰۲۸ ^b	2.793	69.586	5	347.930	Regression
		24.911	46	1145.922	Residual
			51	1493.852	Total
.۰۱۳ ^c	3.534	86.355	4	345.418	Regression
		24.435	47	1148.434	Residual
			51	1493.852	Total
.۰۰۵ ^d	4.810	115.095	3	345.285	Regression
		23.928	48	1148.568	Residual
			51	1493.852	Total
.۰۰۳ ^e	6.746	161.257	2	322.514	Regression
		23.905	49	1171.338	Residual
			51	1493.852	Total
.۰۰۱ ^f	12.359	296.068	1	296.068	Regression
		23.956	50	1197.785	Residual
			51	1493.852	Total

جدول ۸. ضرایب رابطه رگرسیونی و آزمون معناداربودن مدل‌های سولفات سدیم

Sig.	T	Standardized Coefficients		Unstandardized Coefficients		Model
		Beta		Std. Error	B	
.425	.805			34.069	27.426	(Constant)
.861	-.176	-.025		.113	-.020	band9
.778	.283	.164		.104	.029	band10
.775	-.288	-.167		.087	-.025	band12
.394	-.862	-.121		.020	-.018	pca9
.006	-2.894	-.414		.035	-.101	pca10
.365	-.915	-.140		.039	-.036	pca12
.431	.795			33.201	26.391	(Constant)
.752	.318	.180		.102	.032	band10
.746	-.326	-.184		.085	-.028	band12
.323	-.998	-.129		.019	-.019	pca9
.005	-2.923	-.412		.034	-.101	pca10
.319	-1.007	-.147		.037	-.038	pca12
.367	.911			31.848	29.013	(Constant)
.941	-.074	-.010		.020	-.001	band12
.315	-1.016	-.130		.019	-.019	pca9
.005	-2.937	-.409		.034	-.100	pca10
.339	-.966	-.130		.034	-.033	pca12
.000	4.004			6.671	26.709	(Constant)
.311	-1.024	-.130		.018	-.019	pca9
.003	-3.122	-.412		.032	-.101	pca10
.334	-.976	-.129		.034	-.033	pca12
.000	4.069			5.758	23.428	(Constant)
.298	-1.052	-.133		.018	-.019	pca9
.001	-3.543	-.448		.031	-.110	pca10
.000	4.117			4.928	20.287	(Constant)
.001	-3.516	-.445		.031	-.109	pca10

جدول ۹. ضرایب تشخیص همبستگی مدل‌های سولفات منیزیم

Std. Error of the Estimate	Adjusted R Square	R Square	R	Model
2.76714	.127	.230	.480 ^a	1
2.73691	.146	.230	.480 ^b	2
2.70854	.164	.229	.479 ^c	3
2.70242	.168	.217	.465 ^d	4
2.69725	.171	.203	.451 ^e	5
2.74243	.143	.160	.400 ^f	6

تهیه نقشه نهشته‌های مناطق بیابانی با استفاده از داده‌های چندطیغی ASTER

جدول ۱۰. تجزیه واریانس مدل‌های سولفات منیزیم

Sig.	F	Mean Square	Df	Sum of Squares	Model
.056 ^a	2.240	17.151	6	102.903	Regression
		7.657	45	344.567	Residual 1
			51	447.470	Total
.030 ^b	2.747	20.580	5	102.899	Regression
		7.491	46	344.571	Residual 2
			51	447.470	Total
.014 ^c	3.499	25.667	4	102.668	Regression
		7.336	47	344.802	Residual 3
			51	447.470	Total
.008 ^d	4.424	32.308	3	96.923	Regression
		7.303	48	350.547	Residual 4
			51	447.470	Total
.004 ^e	6.253	45.493	2	90.987	Regression
		7.275	49	356.483	Residual 5
			51	447.470	Total
.003 ^f	9.497	71.424	1	71.424	Regression
		7.521	50	376.046	Residual 6
			51	447.470	Total

جدول ۱۱. ضرایب رابطه رگرسیونی و آزمون معناداربودن مدل‌های سولفات منیزیم

Sig.	T	Standardized Coefficients		Unstandardized Coefficients		Model
		Beta	Std. Error	B		
.100	1.678		18.688	31.356	(Constant)	
.868	.167	.024	.062	.010	band9	
.804	-.250	-.145	.057	-.014	band10	
.981	.024	.014	.048	.001	band12	1
.389	-.869	-.122	.011	-.010	pca9	
.043	-2.084	-.299	.019	-.040	pca10	
.149	-1.470	-.225	.021	-.031	pca12	

جدول ۱۱. ضرایب رابطه رگرسیونی و آزمون معناداریودن مدل‌های سولفات منیزیم

Sig.	T	Standardized Coefficients		Unstandardized Coefficients		Model
		Beta	Std. Error	B		
.096	1.697			18.466	31.336	(Constant)
.861	.176	.025	.061	.011	band9	
.339	-.966	-.131	.013	-.013	band10	2
.382	-.882	-.122	.011	-.010	pca9	
.041	-2.107	-.299	.019	-.040	pca10	
.109	-1.635	-.226	.019	-.032	pca12	
.083	1.770			18.015	31.880	(Constant)
.337	-.970	-.130	.013	-.013	band10	
.381	-.885	-.114	.010	-.009	pca9	3
.036	-2.160	-.302	.019	-.040	pca10	
.105	-1.653	-.221	.019	-.031	pca12	
.106	1.647			17.714	29.177	(Constant)
.372	-.902	-.121	.013	-.012	band10	4
.036	-2.161	-.301	.019	-.040	pca10	
.100	-1.679	-.224	.019	-.031	pca12	
.000	4.070			3.314	13.489	(Constant)
.014	-2.544	-.338	.018	-.045	pca10	5
.107	-1.640	-.218	.019	-.031	pca12	
.000	3.757			2.761	10.374	(Constant)
.003	-3.082	-.400	.017	-.053	pca10	6

۳۰ نمونه شاهد، عملیات اعتبارسنجی مدل‌ها آغاز شد. مقادیر MAE و RMSE و ضریب همبستگی بین مقادیر واقعی و تخمینی سولفات سدیم و منیزیم محاسبه شدند (جدول ۱۲ و شکل‌های ۳ و ۴). با استفاده از مدل‌های ارائه شده، نقشه‌های سولفات سدیم و منیزیم منطقه ترسیم شدند (شکل ۵). به دلیل مقادیر کم سولفات‌ها در نمونه‌های آزمایشگاهی، نقشه منطقه به دو کلاس بدون سولفات و سولفات کم طبقه‌بندی شد. نتایج میانگین مربعات خطأ و ارتباط ضرایب همبستگی بین مقادیر واقعی و تخمینی سولفات‌ها نشان می‌دهند که دقت این نقشه‌ها بسیار پایین است.

براساس جدول‌های ۶، ۷ و ۸، بهترین مدل برای تعیین سولفات سدیم در منطقه مطالعاتی برابر است با رابطه (۳)

$$\text{Na}_2\text{So}_4 = (20/287) - 0/109 \text{ pca10}$$

: میزان سولفات سدیم بر حسب

میلی‌اکی‌والان‌برلیتر و pca10: باند فرعی ۱۰

براساس جدول‌های ۹، ۱۰ و ۱۱ بهترین مدل برای تعیین سولفات منیزیم در منطقه مطالعاتی برابر است با رابطه (۴)

$$\text{MgSo}_4 = (10.374) - 0.053 \text{ pca10}$$

: میزان سولفات منیزیم بر حسب

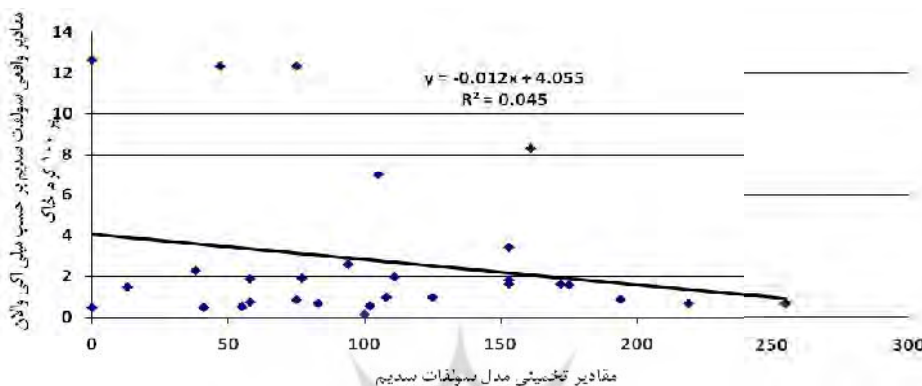
میلی‌اکی‌والان‌برلیتر و pca10: باند فرعی ۱۰

پس از تعیین مدل، با استفاده از نتایج آزمایشگاهی

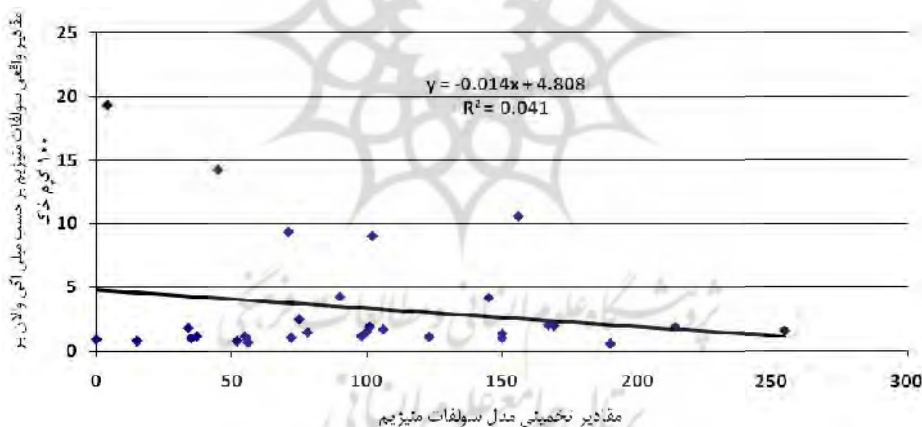
تهیه نقشه نهشته‌های مناطق بیابانی با استفاده از داده‌های چندطیفی ASTER

جدول ۱۲. مقادیر آماری مربوط به اعتبارسنجی بهترین مدل‌ها با استفاده از ۳۰ نمونه شاهد

R	RMS E	MAE	پارامتر
-	113.9		
2.03	6	94.78	مدل برآورده سولفات سدیم
-	117.5		
2.13	2	98.56	مدل برآورده سولفات منیزیم



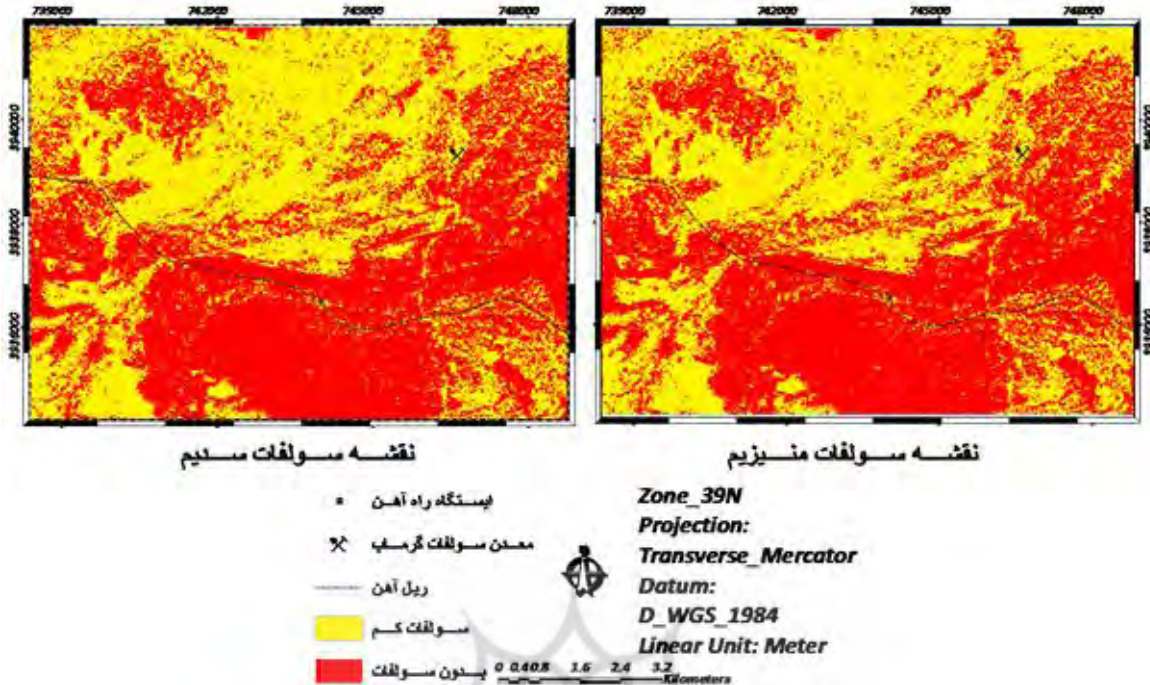
شکل ۳. نمودار همبستگی مقادیر واقعی و تخمینی سولفات سدیم



شکل ۴. نمودار همبستگی مقادیر واقعی و تخمینی سولفات منیزیم

همان‌طور که در شکل ۵ دیده می‌شود، دو نقشه سولفاتات (منیزیم و سدیم) تفاوت‌های جزئی باهم دارند، چراکه در تمام نقاط نمونه‌برداری شده در سطح منطقه هر جا اثری از سولفاتات سدیم یافت شد، مقدار ناچیزی اختلاف سولفاتات منیزیم نیز وجود داشت. درنهایت برای تهیه نقشه از این املاح در محدوده مطالعه شده، از روش‌های طبقه‌بندی نظارت شده استفاده گردید.

نتایج به‌دست‌آمده و همچنین نقشه تهیه شده از روش مدل‌سازی برای سولفاتات (شکل ۵) نشان از دقت ناکافی این روش در تهیه نقشه‌ها دارند. طبق این نقشه نیمی از منطقه دارای سولفاتات ناچیز است، که در واقعیت فقط نقاط محدودی از نمونه‌ها دارای سولفاتات بودند به‌همین دلیل نقشه‌های تهیه شده نتوانستند نتیجه خوبی به‌دست دهند.



شکل ۵. نقشه سولفات‌ها به روش مدل‌سازی

و کل) و صحت کلی طبقه‌بندی با میزان ضریب کاپایه مربوط به هریک از کلاس‌های هریک از املاح و ضریب کاپایی کل محاسبه گردید (جداول ۱۳ و ۱۴). به طور کلی آگاهی از صحت نتایج طبقه‌بندی، میزان احتمال درستی اطلاعات را بیان می‌کند (Wright et al., 1998).

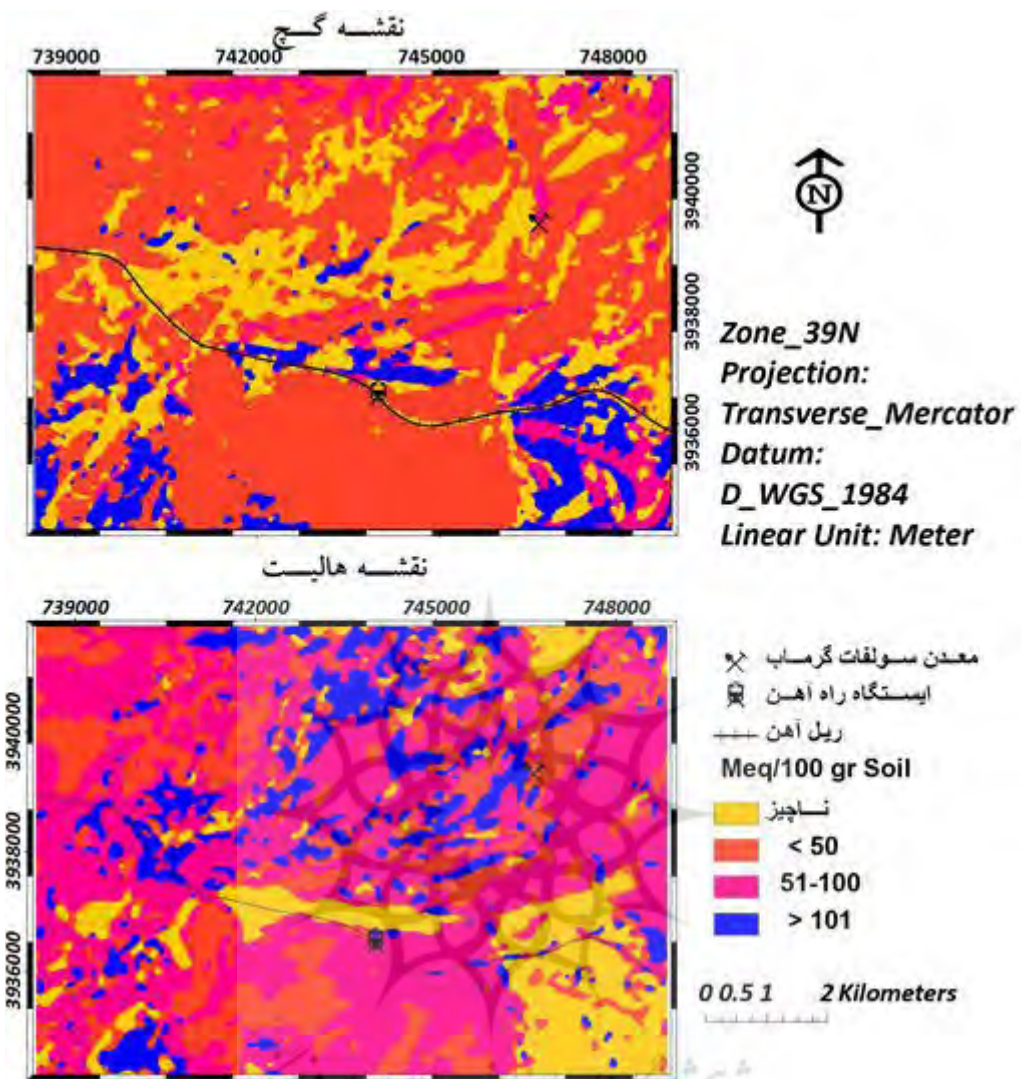
با توجه به اینکه پراکندگی یکنواختی از سولفات در منطقه وجود ندارد و فقط تعداد محدودی از نقاط نمونه برداری دارای سولفات هستند، نمی‌توان با این نتایج نقشه سولفات منطقه را براساس روش حداکثر احتمال تهیه کرد. بنابراین همان‌طور که شکل ۷ نشان می‌دهد، از محدوده معدن هریک از املاح به صورت روباز است و نیز آن تعداد از نقاط نمونه برداری که حاوی سولفات‌اند، به عنوان نقاط تعلیمی استفاده شد.

1. Bayesian Decision Rule

الگوریتم مورد استفاده در پژوهش حاضر، روش حداکثر احتمال بود، که هنوز هم یکی از رایج‌ترین روش‌های طبقه‌بندی تصاویر است (گودرزی مهر و همکاران، ۱۳۹۱)، که در آن از قاعدة تصمیم بیز (BDR) برای محاسبه احتمال استفاده می‌شود (Oommen, 2008). مزیت اصلی الگوریتم حداکثر احتمال این است که تغییرات موجود در هر کلاس را با استفاده از ماتریس کوواریانس برای طبقه‌بندی پیکسل مورد نظر لحاظ می‌کند (Murai, 1996). براساس ارزش‌های مختلف، ۵۲ نقطه نمونه برداری به عنوان نمونه‌های تعلیمی این روش در منطقه مورد استفاده قرار گرفت و تصویر طبقه‌بندی شده‌ای از املاح تبخیری تهیه گردید (شکل ۶). سپس با اعمال فیلتر ۳*۳ نتایج طبقه‌بندی پس‌برداش شدند.

براساس ماتریس خطأ و با استفاده از ۳۲ نقطه تعلیمی شاهد به روش پیکسل به پیکسل، صحت هریک از کلاس‌های املاح مختلف (صحت کاربر، تولیدکننده

تهیه نقشه نهشته‌های مناطق بیابانی با استفاده از داده‌های چندطیفی ASTER



شکل ۶. نقشه هالیت و گج منطقه به روش حداکثر احتمال

جدول ۱۳. ارزیابی صحت نقشه گج با ماتریس خطابه رو ش حداکثر احتمال

نام کلاس	مجموع کلاس	مجموع طبقه‌بندی	تعداد صحیح	صحت تولیدکننده (درصد)	صحت کاربر (درصد)
کلاس گج ناچیز	5	4	2	40	50
کلاس کمتر از ۵۰	13	13	10	92.76	92.76
کلاس بین ۵۱ تا ۱۰۰	7	9	6	71.85	67.66
کلاس بیشتر از ۱۰۱	5	4	4	80	100
کل	30	30	22		
صحت کل = $\frac{0/6178}{72/233} = 72\%$					
کلاس بیشتر از ۱۰۱	۱۰۰ تا ۵۱	۵۰ تا کلاس گج ناچیز	نام کلاس		
Kappa	0.4	0.5928	0.5652		1

جدول ۱۴. صحت نقشه هالیت-ماتریس خطابه روش حداکثر احتمال (مقدار بر حسب میلی‌اکی‌والان بر ۱۰۰ گرم)

نام کلاس	مجموع کلاس	مجموع طبقه‌بندی	تعداد صحیح	صحت تولیدکننده (درصد)	صحت کاربر (درصد)
کلاس نمک ناچیز	6	4	3	50	75
کلاس کمتر از ۵۰	10	8	6	60	75
کلاس بین ۵۱-۱۰۰	10	13	8	80	54.61
کلاس بیشتر از ۱۰۱	4	5	3	75	60
کل	30	30	20		
ضریب کاپای کل = $0/5356$				صحت کل = $0/6667$	
نام کلاس	کلاس نمک ناچیز	کلاس کمتر از ۵۰	کلاس بین ۵۱-۱۰۰	کلاس بیشتر از ۱۰۱	
Kappa	0.6875	0.625	0.4231	0.5385	

مرئی و مادون قرمز نزدیک باشد. مارتینز مانتویا^۲ و دیگران (۲۰۱۰) زمین‌های گچی دو منطقه جدگانه با طبقه‌بندی نظارت شده را تفکیک کردند. آنها بیان کردند که سهم باندهای مادون قرمز متوسط و حرارتی در جداکردن زمین‌های گچی در منطقه سدرال مکزیک بیشتر بوده ولی باند مادون قرمز حرارتی در طبقه‌بندی زمین‌های گچی منطقه بوخارلوز اسپانیا تأثیر چندانی نداشته است. بریانت^۳ (۱۹۹۶) عقیده دارد که باند حرارتی (TM6, ETM⁺⁶) برای تفکیک خاک‌های گچی مفید نیست. نتایج نوری (۱۳۸۰) نقشه زمین‌های شور و گچی منطقه دشت کاشان را با الگوریتم حداکثر احتمال با صحت کلی به ترتیب $77/27$ و $58/16$ درصد تهییه کرد. فتاحی و همکاران (۱۳۸۶) بالاترین دقت به دست آمده میان سه روش طبقه‌بندی نظارت شده حداکثر احتمال، حداقل فاصله از میانگین، و جعبه‌ای برای تهییه نقشه کاربری زمین‌های دشت قم را مربوط به روش حداکثر احتمال و با دقت کلی $71/95$ درصد و ضریب کاپای $0/67$ گزارش کردند.

1. Crowley
2. Martinez-Montoya
3. Bryant

برای اینکه روش طبقه‌بندی حداکثر احتمال به خوبی عمل کند، از برخی واحدهای زمین‌شناسی به عنوان نقاط تعیلمی استفاده شد و درنهایت نقشه سولفات منطقه تهییه گردید (شکل ۸) و مورد ارزیابی صحت قرار گرفت (جدول ۱۵). براساس جداول ۱۳، ۱۴ و ۱۵، با استفاده از روش حداکثر احتمال، نقشه گچ، هالیت و سولفات منطقه مورد مطالعه با صحت مناسبی طبقه‌بندی شد.

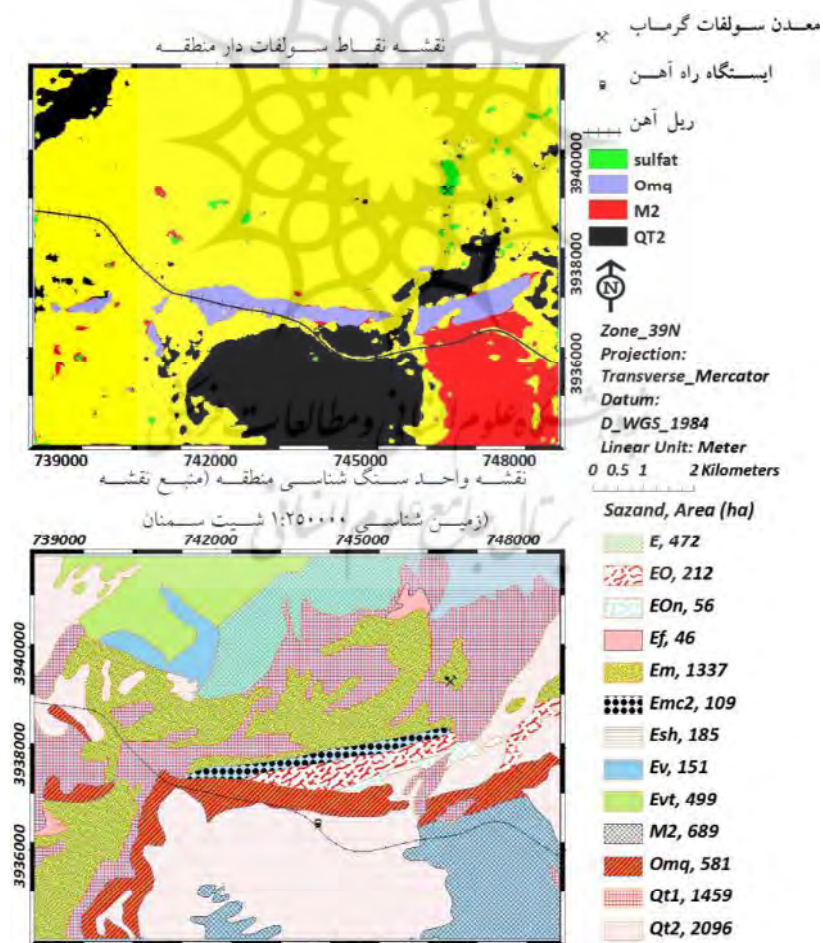
نتایج تحقیق نشان از اهمیت‌داشتن نقش باندهای حرارتی در تعیین املاح گچی و دیگر تبخیری‌ها دارند. نقش این باندها در تفکیک املاح گچی و دیگر تبخیری‌ها قبلًا نیز در یافته‌های دیگران به اثبات رسیده است. همان‌طور که گوسنیس و ون رانست (۱۹۹۸) تأکید کردند، باند حرارتی TM6 نقش مهمی در جداکردن خاک‌های گچی از خاک‌های شور دارد. همچنین طبق یافته‌های کراولی^۱ (۱۹۹۳) در تشخیص مواد معدنی تبخیری پلایاهای مانند انیدریت، گلوبریت و تناردیت (از کانسارهای اصلی سولفات سدیم)، اطلاعات داده‌های سنجش از دور حرارتی می‌تواند مکملی برای داده‌های

تهیه نقشه نهشته‌های مناطق بیابانی با استفاده از داده‌های چندطیفی ASTER



شکل ۷. تصویر معدن سولفات گرماب

منبع: نویسنده‌گان



شکل ۸. نقشه سولفات منطقه به روش طبقه‌بندی حداقل احتمال (بالا) و واحدهای سنگ‌شناسی (پایین)

جدول ۱۵. صحت نقشه سولفات‌سماطریس خطابه روش حداکثر احتمال (مقدار بر حسب میلی‌اکی‌والان بر ۱۰۰ گرم)

نام کلاس	مجموع کلاس	مجموع طبقه‌بندی	تعداد صحیح	صحت تولیدکننده (درصد)	صحت کاربر (درصد)
M2	9	4	4	44.44	100
Qt2	8	14	7	5.87	50
Qm2	8	7	5	5.62	80
سولفات	5	5	4	80	80
کل	30	30	20		
			ضریب کاپای کل = $0.5529 / 0.6667$	صحت کل = $0.6667 / 0.5529$	
نام کلاس	M2	Qt2	Qm2	سولفات	
Kappa	1	3182.0	6104.0	76.0	

زمینی هم‌خوانی بالایی دارد. از آنجاکه در استخراج این املاح با استفاده از داده‌های سنجش از دور، به تصویر هم‌زمان با تاریخ نمونه‌برداری نیاز است و از طرفی تهیه تصویر محدوده مطالعاتی مربوط به زمان نمونه‌برداری امکان‌پذیر نبود، مدل مناسبی برای استخراج این املاح به دست نیامد. بنابراین پیشنهاد می‌شود در مطالعات آتی از تصاویر ماهواره‌ای که به روزنده و تفاوت زمانی کمتری با زمان نمونه‌برداری مانند ETM و IRS دارند، استفاده شود تا مدل مناسبی برای تفکیک نهشته‌های مناطق بیابانی به دست آید. همچنین می‌توان از الگوریتم‌های طبقه‌بندی به روش شبکه عصبی و SVM استفاده کرد و از طریق مقایسه بین آنها بهترین روش را برای طبقه‌بندی این نهشته‌ها برگزید.

۵- سپاس‌گزاری

از شرکت معدنی املاح ایران، به نمایندگی آقایان مهندس علی‌اکبر ساداتی و مهندس سید‌طاهر احمدی نژاد و همکار ارجمندشان جناب آقای مهندس محسن مرادی که زمینه لازم را برای انجام این پژوهش فراهم آورده، کمال تشکر و سپاس‌گزاری به عمل می‌آید.

۴- نتیجه‌گیری

در پژوهش حاضر از داده‌های چندطیفی ASTER و نقشه واقعیت زمینی بر مبنای نتایج نمونه‌های گرفته شده از منطقه، برای شناسایی نهشته‌های تبخیری استفاده شد. نتایج تحقیق نشان دادند که باندهای ۹، ۱۰ و ۱۲ و همچنین PCA9 و PCA10 و PCA12، که از محدوده طیف حرارتی‌اند، در تفکیک این املاح اهمیت دارند. به منظور استخراج این املاح از الگوریتم طبقه‌بندی حداکثر احتمال استفاده شد. این عمل به وسیله باندهای ۹، ۱۰ و ۱۲ و نقاط تعلیمی صورت گرفت و نقشه‌های گج، هالیت و سولفات منطقه با صحت کل به ترتیب $0.6667 / 0.5529$ ، $0.73 / 0.33$ ، $0.6667 / 0.5529$ درصد و با ضریب کاپای به ترتیب $0.5529 / 0.6667$ و $0.053 / 0.061$ تهیه شدند. با نگاهی به وضعیت زمین‌شناسی منطقه در می‌یابیم که در نواحی‌ای که سازندهای گچی یافت می‌شوند، کلاس‌های طبقه‌بندی شده با روش حداکثر احتمال، بیشترین صحت را دارند. طبق شکل ۵، کلاس گج با میزان بیشتر از 10.1 میلی‌اکی‌والان درست منطبق است با سازند گچی m^2 که از کنگلومرا و مارن‌های گج دار منطقه است، و در همین منطقه هالیت کمترین مقدار را دارد. بر اساس شکل ۷ نیز سولفات منطقه فقط در محدوده معدنی سولفات‌گرماب و در انک نقاط دیگری دیده می‌شود، که با نقشه واقعیت

تهیه نقشه نهشته‌های مناطق بیابانی با استفاده از داده‌های چندطیفی ASTER

- ۶- منابع
- تحقيقات جنگل‌ها و مراتع، بخش تحقيقات بیابان.
- قدسی، م.ر.، شهرکی ن.، ۱۳۹۰، شناسایی محدوده‌های امیدبخش پلایاها و املاح تبخیری با کمک تکنیک‌های سنجش از دور در استان سیستان و بلوچستان، فصلنامه علمی پژوهشی زمین و منابع واحد لاهیجان، سال چهارم، شماره اول، صص. ۴۵-۵۰.
- گودرزی‌مهر، س.، عباسپور، رع.، احمدزاد، و.، خاکباز، ب.، ۱۳۹۱، مقایسه روش ماشین‌بردار پشتیبان با روش‌های حداکثر احتمال و شبکه عصبی برای تفکیک واحدهای سنگ‌شناسی، فصلنامه زمین‌شناسی ایران، سال ششم، شماره بیست‌و‌دوم، صص. ۷۵-۹۲.
- متین‌فر، ح.، علوی‌پناه، س.ک.، سرمدیان. ف.، ۱۳۸۵، مطالعه تفکیک‌پذیری خاک‌های مناطق خشک با استفاده از داده‌های سنجنده ASTER (مطالعه موردنی استان اصفهان)، فصلنامه زمین‌شناسی ایران، شماره ۵، صص. ۶۷-۸۰.
- محمدی، ا.، کاظمی، غ.، ۱۳۹۱، عوامل مؤثر بر بیابان‌زایی و شوری آب در حوضه آبریز شوqان، فصلنامه گرافی‌ای طبیعی‌لار، سال پنجم، شماره ۱۵، صص. ۸۵-۹۶.
- نائیج نوری، ر.، ۱۳۸۰، بررسی امکان تفکیک اراضی شور و گچی منطقه دشت کاشان با استفاده از داده‌های ماهواره‌ای TM، پایان‌نامه کارشناسی ارشد مهندسی منابع طبیعی-بیابان‌زایی، دانشگاه صنعتی اصفهان، دانشکده منابع طبیعی، گروه بیابان‌زایی، ۱۰۹ صفحه.
- Abrams, M. & Hook, S., 2001, **ASTER Users Handbook (Version 2)**, Jet Propulsion Laboratory, Pasadena, CA, USA.
- Bedini, E., 2011, **Mineral Mapping in the Kap Simpson Complex**, Central East Greenland, Using HyMap and ASTER remote sensing data. Advances in Space Research Vol. 47, Issue 1, PP. 60–73.
- حبیبی، آ.، ۱۳۸۶، آموزش کاربردی نرم‌افزار SPSS، انتشارات نشر پارس مدیر.
- خدادادی، م.، عسکری، م.ص.، سرمدیان، ف.، حیدری، ا.، رفاهی، ح.ع.، نوروزی، ع.ا.، متین‌فر، ح.ر.، ۱۳۸۷، تهیه نقشه خاک‌های تحت تأثیر شوری و قلاییست با استفاده از داده‌های سنجنده ETM⁺ در بخشی از دشت قزوین، پژوهش و سازندگی در زراعت و باغبانی، شماره ۸۰، صص. ۷۷-۹۰.
- خسروشاهی، م.، محمودی، ف.، کاشکی، م.ت.، ۱۳۹۰، محدوده‌های بیابانی ایران با تأکید بر نقش عوامل زمین‌شناختی مؤثر در تشکیل آنها، فصلنامه علوم زمین، سال بیستم، شماره ۸۰، صص. ۱۵-۲۲.
- سازمان زمین‌شناسی و اکتشافات معدنی کشور، نقشه‌های زمین‌شناسی با مقیاس ۱:۲۵۰۰۰، شیت‌های سمنان.
- سازمان نقشه‌برداری کشور، نقشه‌های توپوگرافی رقومی با مقیاس ۱:۲۵۰۰۰، شیت‌های 6761-3NE، 6761-3NW, 6761-3SE, 6761-3SW
- علوی‌پناه، س.ک.، ۱۳۸۵، کاربرد سنجش از دور در علوم زمین (علوم خاک)، انتشارات دانشگاه تهران، چاپ دوم، ۴۸۷ صفحه.
- فاطمی، ب.، رضایی، ی.، ۱۳۸۵، مبانی سنجش از دور، انتشارات آزاده، چاپ اول، مروی.
- فتاحی، م.م.، نوروزی، ع.ا.، آبکار، ع.ا.، خلخالی، س.ع.، ۱۳۸۶، مقایسه روش‌های طبقه‌بندی و تهیه نقشه استفاده از اراضی (Landuse) مناطق خشک با استفاده از تصاویر ماهواره‌ای، مجله پژوهش و سازندگی در منابع طبیعی، شماره ۷۶، صص. ۱۲۲-۱۳۵.
- فیض‌نیا، س.، ۱۳۷۸، بررسی عوامل زمین‌شناسی در بیابانی‌شدن غرب حوضه مرکزی (قم-کاشان)، مؤسسه

- Bryant, R.G., 1996, **Validated Linear Mixture Modeling of Landsat TM Data for Mapping Evaporate Minerals on a Playa Surface: Methods and applications**, International Journal of Remote Sensing, Vol. 17, Issue 2, PP. 315-330.
- Crosta, A. & Moore, JMCM, 1989, **Enhancement of Landsat Thematic Mapper Imagery for Residual Soil Mapping in SW Minas Gerais State, Brazil, A Prospecting Case History in Greenstone Belt Terrain**, In Proceedings of the 7th ERIM Thematic Conference: Remote Sensing for Exploration Geology, PP. 1173–1187.
- Crowley, J.K., 1993, **Mapping Playa Evaporate Minerals with AVIRIS Data: A first report from death valley, California**, Remote Sensing of Environment, Vol. 44, Issues 2–3, PP. 337–356.
- Farina, P., Catani, F., Colombo, D., Fumagalli, A., Kukavacic, M., Marks, F. & Moretti, S., 2005, **Remote Sensing: A tool for landslide investigations at a basin scale**, Geophysical Research Abstracts, Vol. 7, PP. 10157–10168.
- Gerg Vaughan, R., Hook, S.J., Calvin, M. & Taranik, V., 2005, **Surface Mineral Mapping at Steamboat Springs, Nevada, USA, with multi-wavelength thermal infrared images**, Remote Sensing of Environment, 99 (1–2), PP. 140–158.
- Gomez, C., Delacourt, C., Allemand, P., Ledru, P. & Wackerle, R., 2005, **Using ASTER Remote Sensing Data Set for Geological Mapping, in Namibia**, Physics and Chemistry of the Earth 30, PP. 97–108.
- Goossens, R. & Van Ranst, E., 1998, **The Use of Remote Sensing to Map Gypsiferous Soils in the I. Smailia Province-Egypt**, Geoderma 87, PP. 47–56.
- Hewson, R.D., Cudahy, T.J., Mizuhiko, S., Ueda, K. & Mauger, A.J., 2005, **Seamless Geological Map Generation Using ASTER in the Broken Hill-Curnamona province of Australia**, Remote Sensing of Environment, 99 (1–2), PP. 159–172.
- Kavak, K.S., 2005, **Recognition of Gypsum Geohorizons in the Sivas Basin (Turkey) Using ASTER and Landsat ETM⁺ Images**, International Journal of Remote Sensing, Vol. 26, No. 20, PP. 4583–4596.
- Kodikara, G.R.L., Woldai, T., van Ruitenbeek, F.J.A., Kuria, Z., van der Meer, F. & Shepherd, K.D., van Hummel, G.J., 2011, **Hyperspectral Remote Sensing of Evaporate Minerals and Associated Sediments in Lake Magadi Area, Kenya**, International Journal of Applied Earth Observation and Geoinformation, 14, PP. 22–32.
- Lu, D., Mausel, P., Brondi'zio, E. & Moran, E., 2004, **Change Detection Techniques**, INT. J. Remote Sensing 20, Vol. 25, No. 12, PP. 2365–2407.
- Martinez-Montoya, J.F., Herrero, J. & Casterad, M.A., 2010, **Mapping Categories of Gypseous Lands in Mexico and Spain Using Landsat Imagery**, Journal of Arid Environments, 74, PP. 978–986
- Murai, S., 1996, **Remote Sensing Note**, Japan Association of Remote Sensing.
- Nelson, W. & Sommers, L., 1982, **Total Carbon, Organic Carbon and Organic Matter**, PP. 535-581. In: Page, AL, Keeny, DR, (eds). Methods of Soil Analysis, Part 2, Chemical and microbiological properties, Second edition, America Society of Agronomy, Soil Science Society of America, Madison, WI.
- Oommen, T., 2008, **An Objective Analysis of Support Vector Machine based Classification for Remote Sensing**, Mathematical Geosciences, 40, PP. 409–424.

- Richards, L.A., 1954, **Diagnosis and Improvement of Saline and Alkali Soils**, Agric. Handbook 60, USDA, Washington DC.
- Rowan, L.C. & Mars, J.C., 2003, **Lithologic Mapping in the Mountain Pass, California Area Using Advanced Spaceborne Thermal Emission and Reflection Radiometer (ASTER) Data**, Remote Sensing of Environment, 84, PP. 350–366.
- Van der Meer, F.D., van der Werff, H.M.D., van Ruitenbeek, F.J.A., Hecker, C.A., Bakker, W.H., Noomen, M.F., van der Meijde, M. & Carranza E.J.M., 2012, **Multi and Hyperspectral Geologic Remote Sensing: A review**, International Journal of Applied Earth Observation and Geoinformation 14, PP. 112–128.
- Wright, G.G. & Morrice, J.G., 1997, **Landsat TM Spectral Information to Enhance the Landcover of Scotland**, 1998 Dataest, Int. J. Remote Sensing, Vol. 18, No. 18, PP. 3834
- Yamaguchi, Y., Kahle, A.B., Tsu, H., Kawakami, T. & Pniel, M., 1998, **Overview of Advanced Spaceborne Thermal Emission and Reflection Radiometer (ASTER)**, IEEE Transactions on Geoscience and Remote Sensing, 36 (4), PP. 1062–1071.
- Yarbrough, L.D., Easson, G. & Kuszmaul, J.S., 2005, **Using At-Sensor Radiance and Reflectance Tasseled Cap Transforms Applied to Change Detection for the ASTER Sensor**, Presented at IEEE Third International Workshop on the Analysis of Multi-temporal Remote Sensing Images, Beau Rivage, Biloxi, Mississippi, USA, 5p.
- Zhang, X., Pazner, M. & Duke, N., 2007, **Lithologic and Mineral Information Extraction for Gold Exploration Using ASTER Data in the South Chocolate Mountains (California)**, ISPRS Journal of Photogrammetry & Remote Sensing 62, PP. 271–282.
- Zhang, X. & Pazner, M., 2007, **Comparison of Lithologic Mapping with ASTER, Hyperion, and ETM Data in the Southeastern Chocolate Mountains, USA**, Photogrammetric Engineering & Remote Sensing, Vol. 73, No. 5, PP. 555–561.

پژوهشگاه علوم انسانی و مطالعات فرهنگی
پرستال جامع علوم انسانی